

УДК 515.162.3+514.13

## ОБ ОБОБЩЕНИИ МНОГООБРАЗИЯ ЭВЕРИТА\*)

Т. А. Козловская

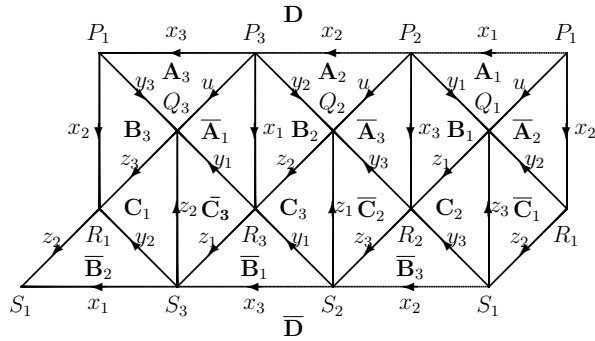
Работа посвящена построению новых примеров замкнутых ориентируемых трехмерных многообразий и исследованию их свойств.

Возможность построения трехмерных многообразий из платоновых тел исследовалась многими авторами. Итог этих исследований подведен в [1], где дан полный список сферических:  $M_1, \dots, M_8$ , евклидовых:  $M_9, \dots, M_{14}$ , и гиперболических:  $M_{15}, \dots, M_{28}$ , многообразий, каждое из которых получается попарным отождествлением граней подходящего правильного многогранника из соответствующей геометрии. Например, из правильного гиперболического додекаэдра с двугранными углами  $2\pi/5$  можно построить восемь различных многообразий, одно из которых,  $M_{15}$ , является многообразием Вебера — Зейферта [2]. Из правильного гиперболического икосаэдра с двугранными углами  $2\pi/3$  можно построить шесть различных многообразий. Нас будет интересовать одно из этих многообразий, обладающее симметрией третьего порядка, которое обозначено в [1] через  $M_{25}$ . В данной работе по соображениям, естественность которых будет видна ниже, мы будем обозначать это многообразие через  $M(3)$  и называть *многообразием Эверита*.

Пусть  $P(3)$  — правильный гиперболический  $2\pi/3$ -икосаэдр с обозначениями граней и вершин, как на рис. 1 (предполагается, что правая

---

\*) Работа выполнена при финансовой поддержке Российского фонда фундаментальных исследований (код проекта 09-01-0255) и интеграционного гранта СО РАН и УрО РАН.

Рис. 1. Отождествление граней многогранника  $P(3)$ .

и левая стороны, обозначенные  $P_1 R_1 S_1$ , должны быть отождествлены).

Рассмотрим попарное отождествление  $\varphi(3)$  граней  $P(3)$ , которое, очевидно, может быть реализовано изометриями гиперболического пространства:

$$\begin{cases} a_i : \mathbf{A}_i \rightarrow \overline{\mathbf{A}}_i & [P_i P_{i+1} Q_i \rightarrow P_{i+2} R_{i+2} Q_{i+2}], \\ b_i : \mathbf{B}_i \rightarrow \overline{\mathbf{B}}_i & [Q_i R_{i+1} P_{i+1} \rightarrow R_{i+2} S_{i+2} S_{i+1}], \\ c_i : \mathbf{C}_i \rightarrow \overline{\mathbf{C}}_i & [Q_{i-1} R_i S_{i-1} \rightarrow S_i Q_i R_i], \\ d : \mathbf{D} \rightarrow \overline{\mathbf{D}} & [P_1 P_2 P_3 \rightarrow S_3 S_1 S_2], \end{cases} \quad (1)$$

где  $i = 1, 2, 3$  и все индексы берутся по модулю 3. Фактор-пространство  $M(3) = P(3)/\varphi(3)$  является псевдомногообразием. Поскольку его эйлерова характеристика равна нулю ( $\sigma_0 = 1$ ,  $\sigma_1 = 10$ ,  $\sigma_2 = 10$ ,  $\sigma_3 = 1$ , где  $\sigma_i$  — число  $i$ -мерных клеток в  $M(3)$ ), по теореме Зейферта — Трельфалля,  $M(3)$  — замкнутое 3-многообразие. Заметим, что все вершины  $P(3)$  лежат в одном классе эквивалентности относительно  $\varphi(3)$ .

Как отмечено в [3], конструкция  $M(3)$  может быть обобщена для произвольного  $n \geq 2$ , что приведет к бесконечной серии многообразий  $M^C(n)$ . К сожалению, в работе [3] отсутствует явная конструкция многообразий  $M^C(n)$ . Авторы пишут только о том, что такие многообразия строятся «аналогично»  $M(3)$  и выписывают фундаментальные

группы:

$$\begin{aligned} \pi_1(M^C(n)) &= \langle x_1, \dots, x_n; y_1, \dots, y_n; z_1, \dots, z_n; u \mid x_1 x_2 \dots x_n = 1, \\ &x_i y_i = u, y_i z_i = x_{i-1}, z_{i-1} z_i = y_{i-1}, i = 1, \dots, n \rangle. \end{aligned} \quad (2)$$

Строя многообразия  $M(n)$  по правилу (1) как обобщение  $M(3)$ , нетрудно видеть, что при нечетном  $n$  представление (2) дает  $\pi_1(M(n))$ , однако при четных  $n$  ситуация несколько иная. Рассмотрим симплициональный комплекс  $P(2)$ , приведенный на рис. 2, где предполагается, что правая и левая стороны должны быть отождествлены.

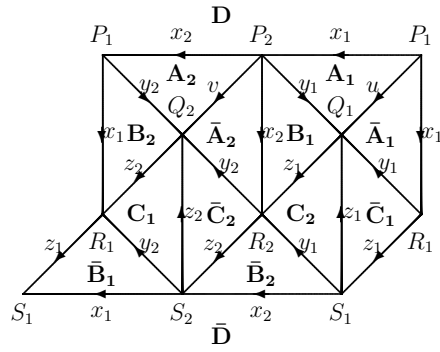


Рис. 2. Отождествление граней многогранника  $P(2)$ .

Тогда  $M(2) = P(2)/\varphi(2)$ , где попарное отождествление граней  $\varphi(2)$  задается правилами (1). Поскольку эйлерова характеристика псевдомногообразия  $M(2)$  равна нулю ( $\sigma_0 = 2, \sigma_1 = 8, \sigma_2 = 7, \sigma_3 = 1$ ), по теореме Зейферта — Трельфалля  $M(2)$  — замкнутое 3-многообразие. Отметим, что все вершины  $P(2)$  распадаются на два класса эквивалентных относительно  $\varphi(2)$ . Особенности получения представления фундаментальной группы трехмерного многообразия в случае более чем одной 0-клетки подробно описаны в [4, с. 276–279], чем мы и пользуемся ниже.

Покажем, что многообразие  $M(2)$  отлично от  $M^C(2)$ . Поскольку вся имеющаяся в [3] точная информация о  $M^C(2)$  это его фундаментальная группа, сравним ее с фундаментальной группой  $\pi_1(M(2))$ .

**Утверждение 1.** Группа  $\pi_1(M^C(2))$  является циклической группой порядка 6, а  $\pi_1(M(2))$  является циклической группой порядка 3.

ДОКАЗАТЕЛЬСТВО. Согласно (2)  $\pi_1(M^C(2))$  имеет представление

$$\langle u, x_1, x_2, y_1, y_2, z_1, z_2 \mid x_1x_2 = 1, x_1y_1 = u, x_2y_2 = u, \\ y_1z_1 = x_2, y_2z_2 = x_1, z_1z_2 = y_1, z_2z_1 = y_2 \rangle.$$

Переходя к порождающим  $z_1$  и  $z_2$ , получим, что она может быть представлена в виде  $\langle z_1, z_2 \mid z_2z_1z_2z_1z_2 = z_1z_2z_1z_2z_1, z_2z_1z_2z_1z_2z_1 = 1 \rangle$ , откуда  $z_2 = z_1$  и  $\pi_1(M^C(2)) \cong \langle z_1 \mid z_1^6 = 1 \rangle$ .

По построению  $M(2)$ ,  $\pi_1(M(2))$  имеет представление

$$\langle u, x_1, x_2, y_1, y_2, z_1, z_2 \mid x_1x_2 = 1, x_1y_1 = u, x_2y_2 = 1, \\ y_1z_1 = x_2, y_2z_2 = x_1, z_1z_2 = y_1, z_2z_1 = y_2 \rangle.$$

Переходя к порождающим  $z_1$  и  $z_2$ , получим что она представляется также в виде  $\langle z_1, z_2 \mid z_1z_2z_1z_2z_1 = 1, z_2z_1z_2z_1z_2z_1 = 1 \rangle$ , откуда  $z_2 = 1$  и  $\pi_1(M(2)) \cong \langle z_1 \mid z_1^3 = 1 \rangle$ .

Многообразия  $M^C(4)$  и  $M(4)$  (рис 3) также различны. В самом деле, вычисляя с помощью компьютерной программы GAP [5] абелевы инварианты фундаментальных групп этих многообразий, для первой группы получаем  $[3, 3, 3, 4]$ , в то время как для второй —  $[2, 3, 3, 3]$ .

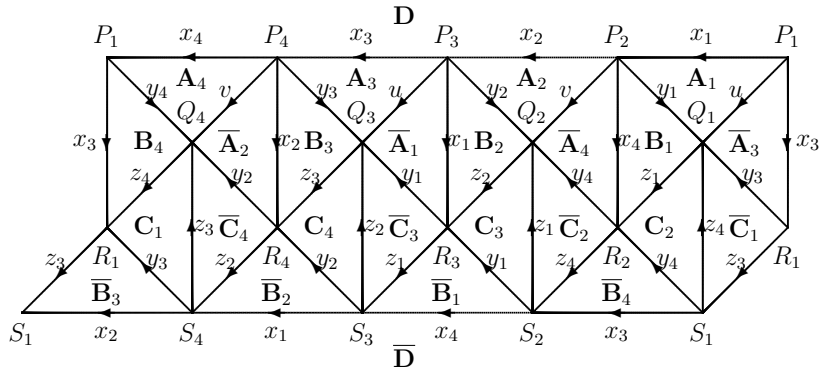


Рис. 3. Отождествление граней многогранника  $P(4)$ .

**Утверждение 2.** Если  $n = 2k \geq 2$ , то

$$\begin{aligned}\pi_1(M(n)) = & \langle x_1, \dots, x_n; y_1, \dots, y_n; z_1, \dots, z_n; u \mid x_1x_2 \dots x_n = 1, \\ & y_i z_i = x_{i-1}, z_{i-1} z_i = y_{i-1}, i = 1, \dots, n, \\ & x_{2j-1} y_{2j-1} = u, x_{2j} y_{2j} = 1, j = 1, \dots, k \rangle.\end{aligned}$$

**Доказательство.** Непосредственно следует из описания  $M(n)$  через отождествления (1).

**Теорема 1.** Многообразие  $M(2)$  является линзовым пространством  $L(3, 1)$ .

**Доказательство.** Как отмечено выше, все вершины комплекса  $P(2)$  разбиваются на два класса эквивалентных относительно  $\varphi(2)$ . Согласно [4] для получения представления фундаментальной группы  $\pi_1(M(2))$  необходимо положить, что путь, соединяющий эти вершины является тривиальным. Положим, что тривиальным является путь, соответствующий ребрам с меткой  $z_2$ . Стягивание этого пути соответствует стягиванию трех ребер на  $P(2)$ , что приведет к симплексальному комплексу на рис. 4, фундаментальному для  $M(2)$ .

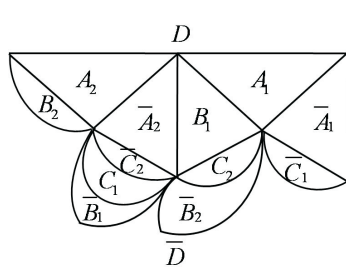


Рис. 4. Стягивание ребер  
на  $P(2)$  с метками  $z_2$ .

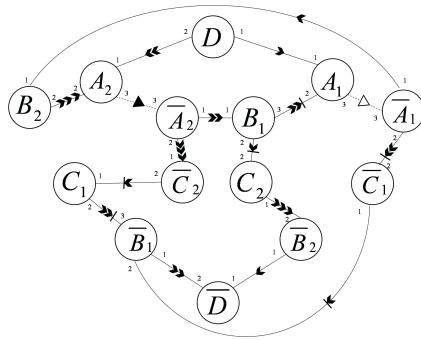


Рис. 5. Диаграмма Хегора  
многообразия  $M(2)$ .

Соответствующая этому симплексальному комплексу диаграмма Хегора многообразия  $M(2)$  приведена на рис. 5.

С помощью последовательности преобразований Зингера эта диаграмма Хегора приводится к виду указанному на рис. 6, что, как хорошо известно, является диаграммой Хегора линзового пространства  $L(3, 1)$ .



Рис. 6. Диаграмма Хегора  
линзового пространства  $L(3, 1)$

#### ЛИТЕРАТУРА

1. Everitt B. 3-Manifolds from Platonic solids // Topology Appl. 2004. V. 138. P. 253–263.
2. Seifert H., Weber C. Die beiden Dodekaedräume // Math. Z. 1933. Bd 37. S. 237–253.
3. Cavicchioli A., Spaggiari F., Telloni A. I. Topology of compact space forms from Platonic solids. II // Topology Appl. 2010. V. 157. P. 921–931.
4. Зейферт Г., Трельфалль В. Топология. Ижевск, 2001.
5. GAP — Groups, Algorithms, Programming. A System for Computational Discrete Algebra. At: <http://www.gap-system.org>.

г. Новосибирск

20 ноября 2010 г.